

Kalorimetriás módszerek a liposzómák vizsgálatában

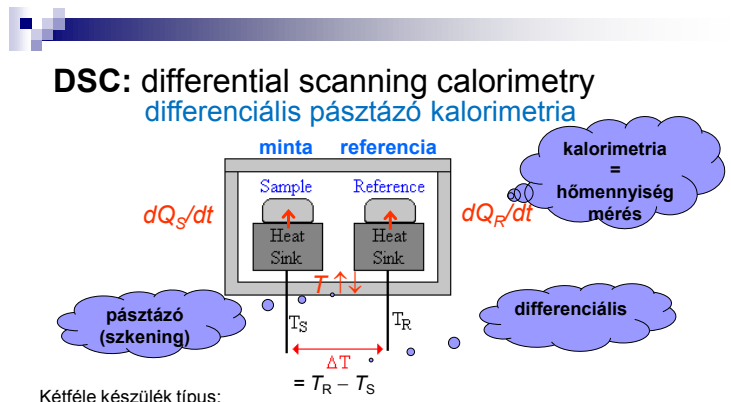
- DSC : differential scanning calorimetry
- ITC : isothermal titration calorimetry

1

DSC : differential scanning calorimetry

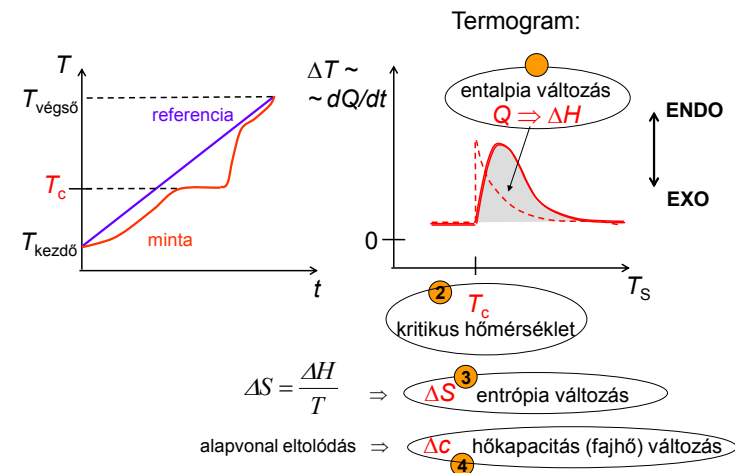


2



- mért mennyiség: $\Delta T \Rightarrow$ fűtőteljesítmény szabályozása, hogy $\Delta T = 0$ legyen \Rightarrow mért mennyiség: $dQ_S/dt - dQ_R/dt = dQ/dt$
- mért mennyiség: $\Delta T \Rightarrow$ számolás: dQ/dt

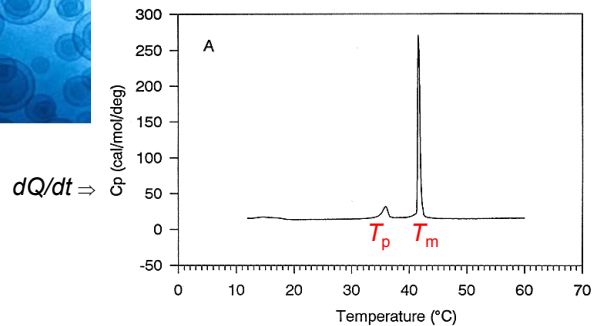
3



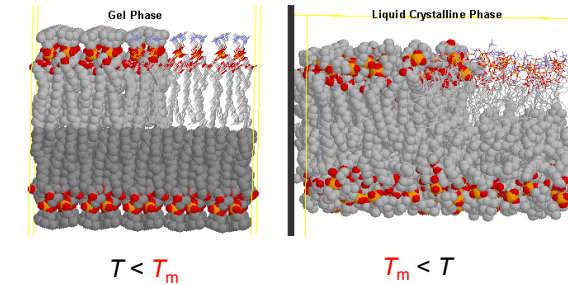
4

1

Példa: DPPC multilamelláris liposzóma

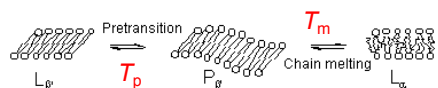
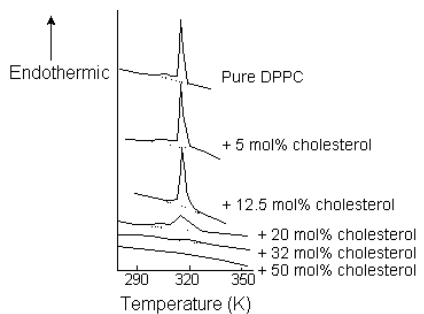


5



6

Példa:
koleszterin hatása
DPPC liposzóma
termogramjára



7

Példa: Acetazolamid formulázása

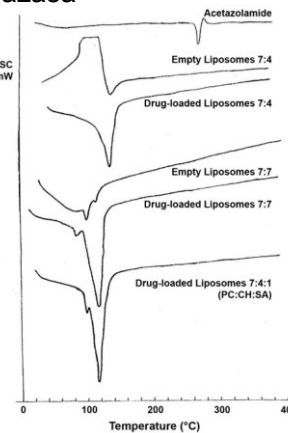
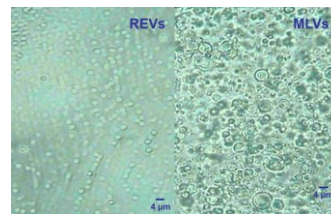
Glaukómában szem belenyomásának csökkenésére.

Mellékhatások: depresszió,
veseelégtelenség, hánynás, anorexia, ...

Lokális alkalmazás problémái: rossz
vízoldékonyúság, kicsi permeabilitási
együttírás

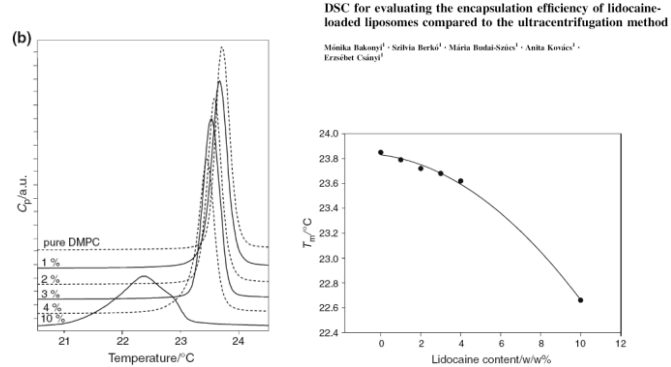
liposzóma

AAPS PharmSciTech 2007; 8 (1)



8

Példa: Lidokain bezárása liposzómába



DSC mérésekkel megbízhatóbban meg tudták határozni a lidokain bezárásához hatásfokát.

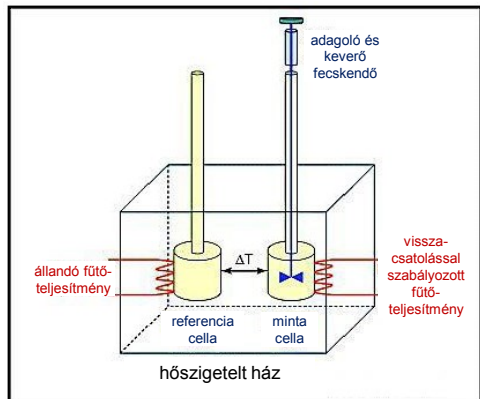
9

ITC: isotherm titration calorimetry izoterm titrációs kalorimetria



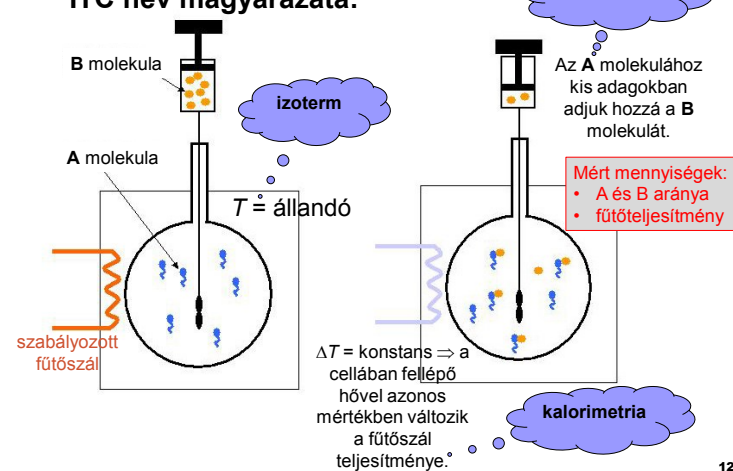
10

Felépítés:

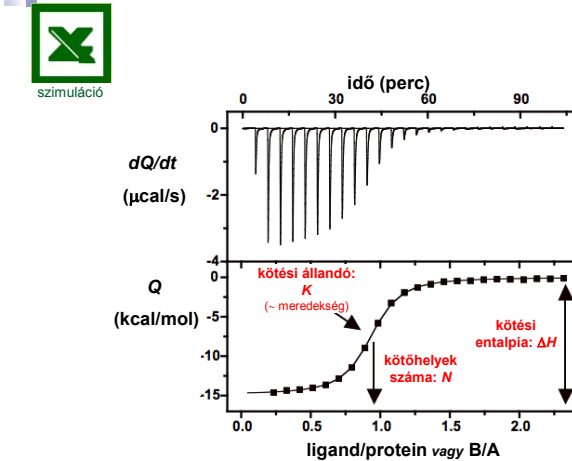
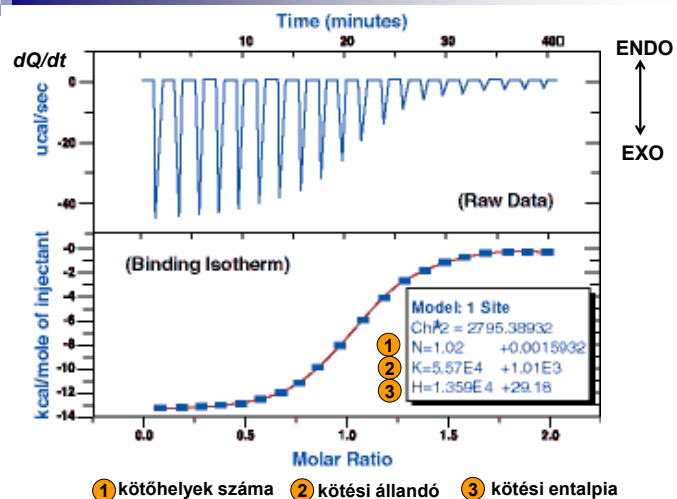


11

ITC név magyarázata:



12



Meghatározható mennyiségek:

$N, K, \Delta H$ +

$$\left. \begin{array}{l} \Delta G = -RT \ln K \\ \Delta G = \Delta H - T \cdot \Delta S \end{array} \right\} \quad \text{④} \quad \Delta S \quad \text{kötési entrópia}$$

Példák orvosi/biológiai alkalmazásra:

- ◊ fehérje-fehérje kölcsönhatás
- ◊ fehérje-ligandum kölcsönhatás
- ◊ enzim-szubsztrát kötődés
- ◊ enzim-inhibitor kötődés
- ◊ lipid-lipid kölcsönhatás
- ◊ fehérje-lipid kölcsönhatás
- ◊ nukleinsav-fehérje kölcsönhatás
- ◊ nukleinsav-membrán kölcsönhatás
- ◊ oligomerizáció/disszociáció
- ◊ micella képződés
- ◊ gyógyszer-lipid/fehérje kölcsönhatás
- ◊ gyógyszer-felületaktiv anyag khatás

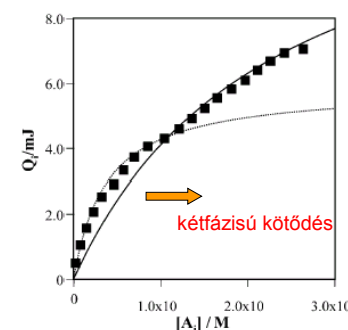
15

Példa: fájdalomcsillapító és liposzóma kölcsönhatása



Mellékhatások: gyomor-bél problémák (hányás, gyomorvérzés, ...)

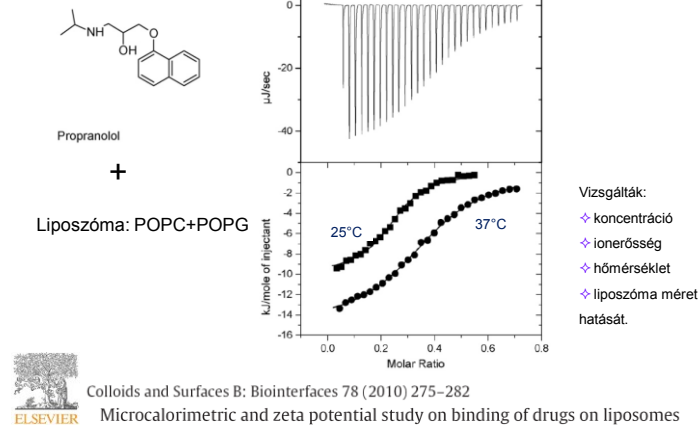
liposzóma



Biophysical Journal Volume 86 February 2004 946-954
Interaction of Antiinflammatory Drugs with EPC Liposomes:
Calorimetric Study in a Broad Concentration Range

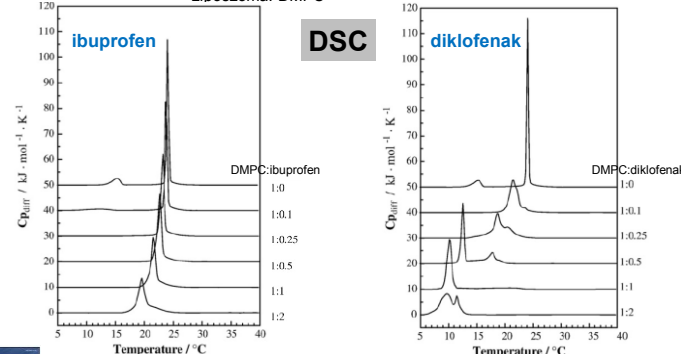
16

Példa: Béta-receptor blokkolók kölcsönhatása liposzómával

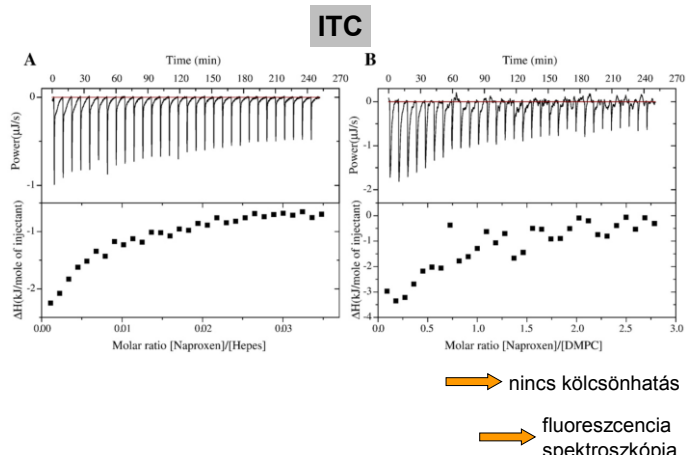


Példa: nem-szteroid gyulladásgátlók hatása a membránra

Nem-szteroid gyulladásgátlók: pl. ibuprofen, diklofenak, naproxen
Liposzóma: DMPC



→ kölcsönhatás

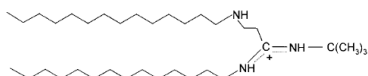


Példa: DNS és liposzóma kölcsönhatása

DNS transzfer → kationos liposzóma

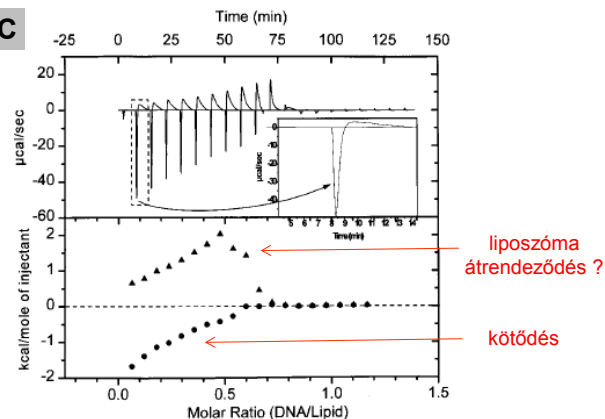
előnyök: gyengébb immun válasz, nagy „méretválaszték”, sejt specifikus liposzómák, ...

Liposzóma: diC₁₄-amidin

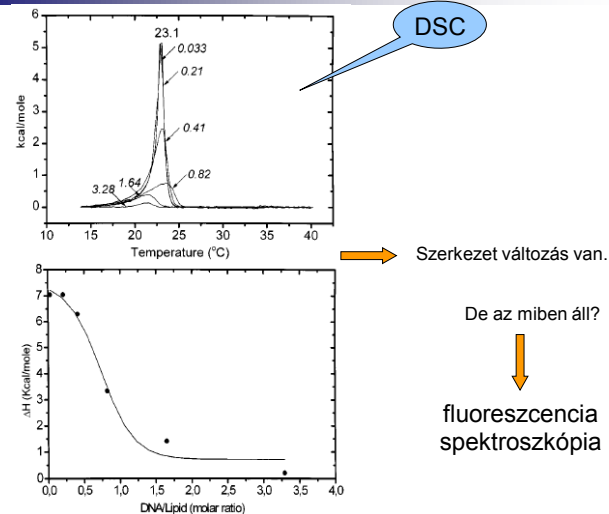


+ plazmid DNS

The JOURNAL OF BIOLOGICAL CHEMISTRY
© 2009 by The American Society for Biochemistry and Molecular Biology, Inc.
Vol. 275, No. 38, Issue of September 22, pp. 29033–29038, 2009
Printed in U.S.A.
Biophysical and Structural Properties of DNA-diC₁₄-amidine Complexes

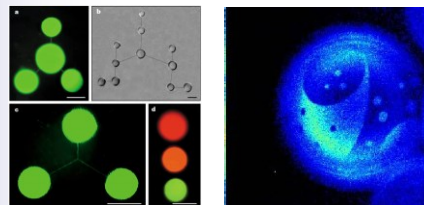
ITC

21

DSC

22

Fluoreszcenciás módszerek a liposzómák vizsgálatában



23

Fluoreszcencia

fluoreszcencia → lumineszcencia

Lumineszcencia: hőmérsékleti sugárzáson felüli többlet sugárzás.

Megfigyelések:

- „gyenge” kapcsolat a test hőmérsékletével \longrightarrow „hűtő fény”
- vonalas, ill. sávos spektrum \longrightarrow elektrongerjesztés



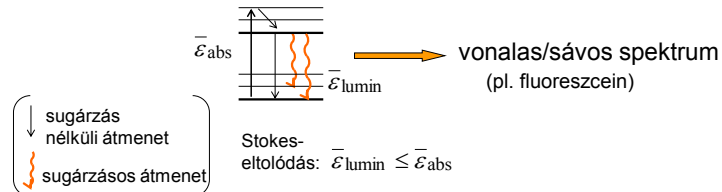
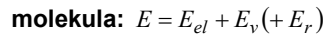
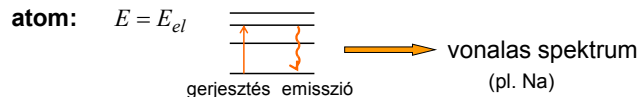
24

Gerjesztés szerint:

| gerjesztés módja | elnevezés | példa |
|----------------------|-------------------------------------|-----------------------------|
| fény | fotolumineszcencia (fluoreszcencia) | kinin-szulfát, foszfor, ... |
| röntgensugárzás. | röntgenlumin. | NaI (Tl) |
| radioaktív sugárzás. | radiolumin. | NaI (Tl) |
| elektromos tér | elektrolumin. | higanygözlámpa |
| mechanikai hatás | tribolumin. | kockacukor |
| kémiai reakció | kemolumin. (biolumin.) | szentjánosbogár |
| hő | termolumin. | CaSO ₄ (Dy) |

25

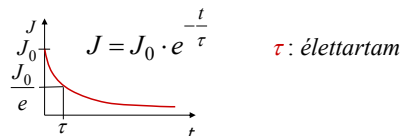
Lumineszcencia mechanizmusa



26

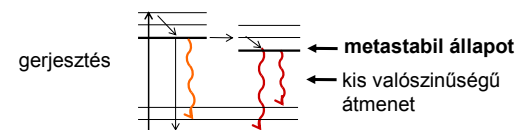
Luminescencianégy jellemzése

- vonalak, sávok helyzete, alakja, intenzitása
- Stokes-féle eltolódás ($\bar{\epsilon}_{lumin} \leq \bar{\epsilon}_{abs}$)
- kvantumhatásfok: $Q = \text{emittált fotonok száma}/\text{abszorbeált fotonok száma} (< 1)$
- élettartam:



27

Fluoreszcencia és foszforeszcencia



fluoreszcencia foszforeszcencia

$$\bar{\epsilon}_{phos} \leq \bar{\epsilon}_{fluo} \leq \bar{\epsilon}_{abs}$$

pl. triptofán:

$$\bar{\lambda}_{fluo} = 340 \text{ nm}$$

$$\bar{\lambda}_{abs} \leq \bar{\lambda}_{fluo} \leq \bar{\lambda}_{phos}$$

$$\bar{\lambda}_{phos} = 440 \text{ nm}$$

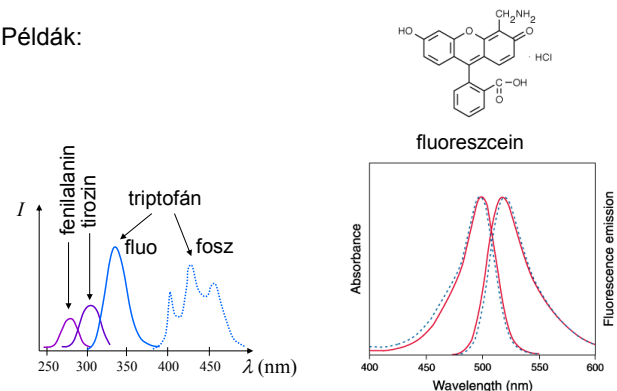
$$\tau_{fluo} \ll \tau_{phos}$$

$$\tau_{fluo} = 0,1 - 5 \text{ ns}$$

$$\tau_{phos} = 0,001 - 5 \text{ s}$$

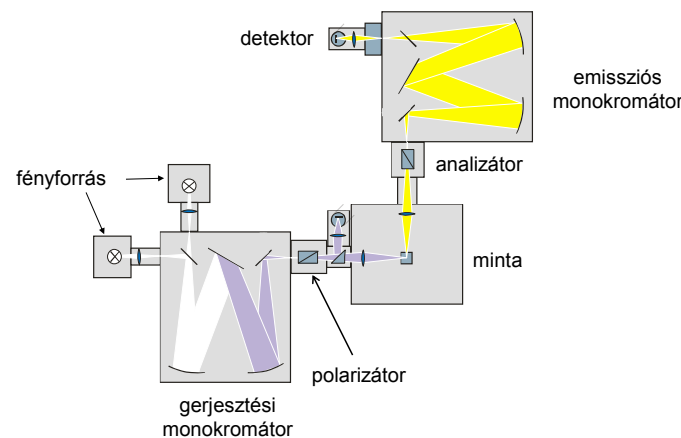
28

Példák:



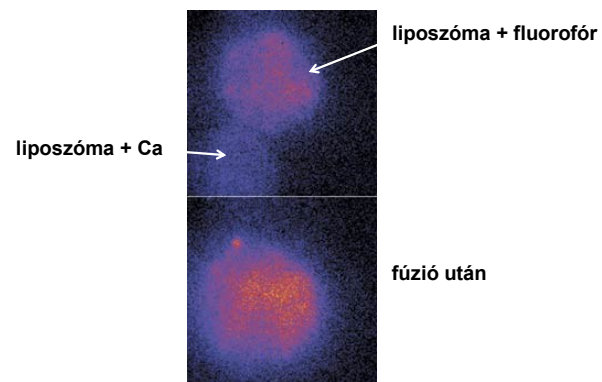
29

Mérés – luminométer felépítése



30

Példák:



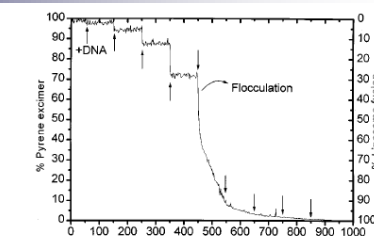
31

DNS és liposzóma kölcsönhatása (folyt.):

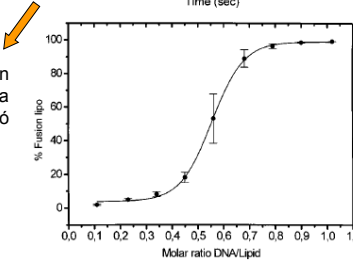
Fluorofór: pirén



Pirén excimer (~ koncentráció):
 $\lambda_{\text{gerj}} = 330 \text{ nm}$ $\lambda_{\text{em}} = 477 \text{ nm}$

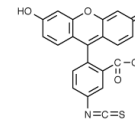


pirén fluoreszcenciája csökken \Rightarrow fúzió

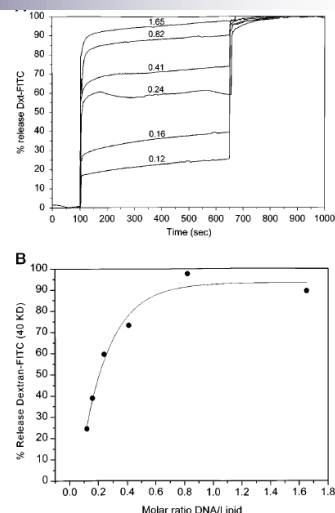


32

Fluorofór:
FITC-vel jelzett dextrán
(FITC: fluoreszein-izotiocianát)

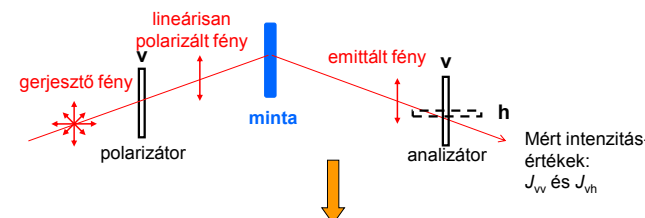


DNS destabilizálja a liposzómákat \Rightarrow dextrán kiáramlás, fúzió



33

Anizotrópia mérése



Mért intenzitás-értékek:
 J_{vv} és J_{vh}

$$\text{anizotrópia } (r): \quad r = \frac{J_{vv} - J_{vh}}{J_{vv} + 2 \cdot J_{vh}} = \frac{J_{vv} - J_{vh}}{J} \quad 0 \leq r \leq 1$$

1 helyett a maximális érték r_0

34

$$\text{Perrin-egyenlet: } r = \frac{r_0}{1 + \tau / \phi} \quad \phi: \text{rotációs diffúzió korrelációs ideje}$$

$$\phi = \frac{\eta \cdot V}{kT}$$

η : viskozitás

V : molekula(rész) térfogata

k : Boltzmann-állandó

T : hőmérséklet

η : mikroviskozitás
($1/\eta$: mikrofluiditás)

Az anizotrópia értékek átszámolhatók mikroviskozitásra.
Nagyobb anizotrópia nagyobb mikroviskozitást jelent.

35

Liposzóma mikroviskozitása a hőmérséklet függvényében:

Liposzóma: DPPC

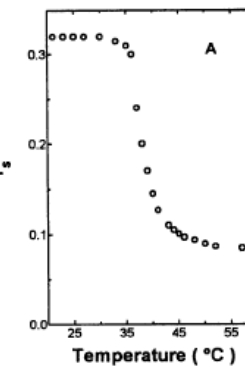
DPPC: dipalmitoil foszfatidilkolin

Fluorofór: DPH

DPH: difenil hexatrién



A fázisátalakulási hőmérséklet fölött jelentősen lecsökken a lipidréteg mikroviskozitása.



36

9

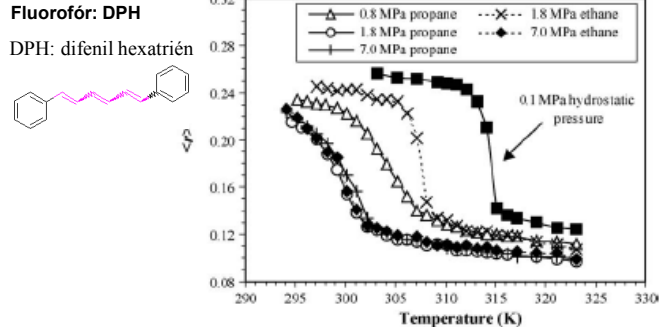
Alkánok és nyomás hatása a liposzóma mikroviszkozitására:

Liposzóma: DPPC

DPPC: dipalmitoil foszfatidilkolin

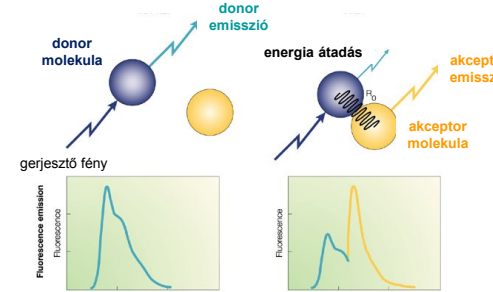
Fluorofór: DPH

DPH: difenil hexatrién



37

Förster-féle rezonancia energiatranszfer (FRET)



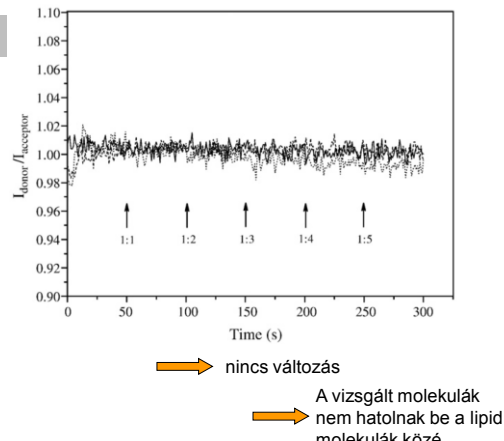
Mért mennyiség: donor/akceptor intenzitásarány

Nagyon erősen függ a távolságtól!
„molekuláris mérőszálag”

38

Példa: nem-szteroid gyulladásgátlók (ibuprofen, diklofenak, naproxen) hatása a membránra (folytatás)

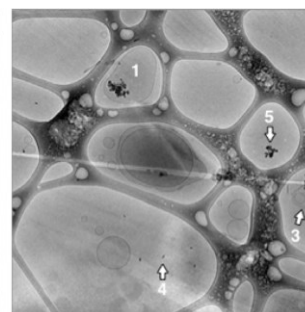
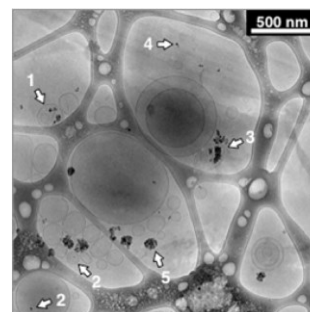
FRET



39

Magnetoliposzómák

Liposzóma: DPPC+koleszterin
Mágnes: Fe_3O_4 nanorészecskék



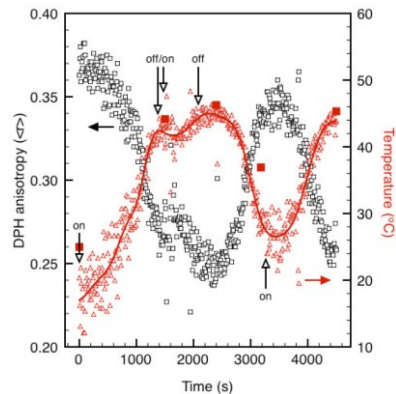
(TEM felvételek)

40

Melegítés rádióhullámokkal

$f = 281$ kHz

Fluorofór: DPH



41

Példa: hőmérséklettel aktivált liposzóma tervezése



Nanomedicine: Nanotechnology, Biology, and Medicine
10 (2014) 1243–1252



Original Article

Principles of rational design of thermally targeted liposomes for local drug delivery

Roberto Tejera-Garcia, PhD¹, Petteri Parkkila, BSc¹,
Vladimir Zamotin, PhD, Paavo K.J. Kinnunen, PhD^{*}

Helsinki Biophysics and Biomembrane Group, Department of Biomedical Engineering and Computational Science, School of Sciences,
Aalto University, Espoo, Finland

Received 7 January 2014; accepted 20 March 2014

Doxorubicin
(Dox)

citosztatikum,
a szokásos
mellékhatásokkal

Célkitűzés:
liposzómás bejuttatás, de úgy,
hogy az egészséges szövetben
minél kevesebb, a daganatban
minél több hatóanyag jelenjen
meg.

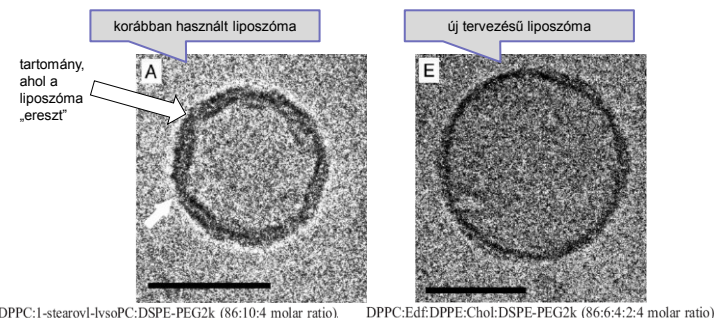
Van saját fluoreszcenciája

42

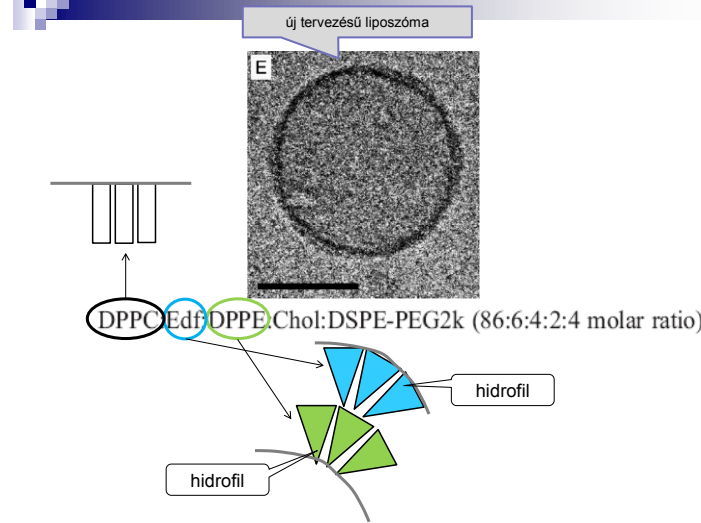
Elv:

1. Daganat lokális felmelegítése 39–41 $^{\circ}\text{C}$ -ra (T_R), pl. MRgHIFU technikával
2. Hatóanyag bezárasa olyan liposzómába melynek,
 - a) gél → fluid átmeneti hőmérséklete T_R közelében van,
 - b) hatóanyag kieresztése T_R alatt minél kisebb, T_R közelében minél nagyobb.

Liposzóma tervezése:



43



44

